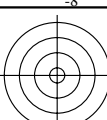




http://farbe.li.tu-berlin.de/MN98/MN98L0N2.TXT /PS; start output
N: ingen 3D-linearisering (OL) i fil (F) eller PS-startup (S), side 1/1



c
M
Y
V
O
L
M
V
C
V
-8
-6

se lignende filer: http://farbe.li.tu-berlin.de/MN98/MN98.HTM
http://130.149.60.45/~farbmatrik eller http://farbe.li.tu-berlin.de



farge-egenskaper til den lavere og høyere fargemetrikken

type fargeblanding

dikromatisk

trikromatisk

lavere farge- eller valensmetrikk

(for $Y_- \geq B_-$)
 B_-
 $100 - Y_-$
 $Y_- - B_-$

(for $R_- \geq G_- \geq B_-$)
 B_-
 $100 - R_-$
 $R_- - B_-$

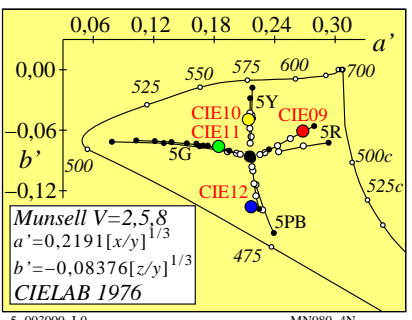
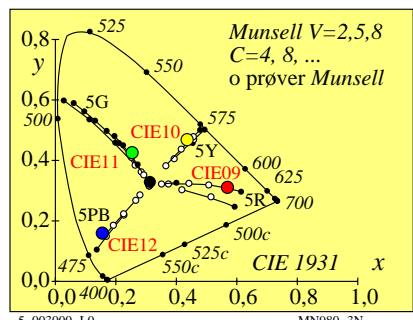
høyere farge- eller fornemmelsesmetrikk

(for $Y_* \geq B^*$)
 B^*
 $100 - Y^*$
 $Y^* - B^*$

(for $R^* \geq G^* \geq B^*$)
 B^*
 $100 - R^*$
 $R^* - B^*$

5-003000-L0

MN980-1N



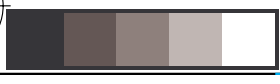
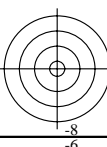
lavere fargemetrikk (fargedata: lineær relasjon til CIE 1931 data)

lineære fargebetegnelser	navn og sammenheng med CIE tristimulus- eller kromatisitetsverdier	merknader
tristimulus-verdier	X, Y, Z	
kulørverdi rød-grønn	lineært kulørverdi diagram (A, B) $A = [X / Y - X_n / Y_n] Y = [a - a_n] Y$ $= [x / y - x_n / y_n] Y$	$n=D65$ (omfelt)
gul-blå	$B = -0,4 [Z / Y - Z_n / Y_n] Y = [b - b_n] Y$ $= -0,4 [z / y - z_n / y_n] Y$	
radiell	$C_{AB} = [A^2 + B^2]^{1/2}$	
kromatisitet rød-grønn	lineært kromatisitetsdiagram (a, b) $a = X / Y = x / y$	sammenlign med linéær tappe-eksitasjon
gul-blå	$b = -0,4 [Z / Y] = -0,4 [z / y]$	$L/(L+M)=P/(P+D)$
radiell	$c_{ab} = [(a - a_n)^2 + (b - b_n)^2]^{1/2}$	$S/(L+M)=T/(P+D)$

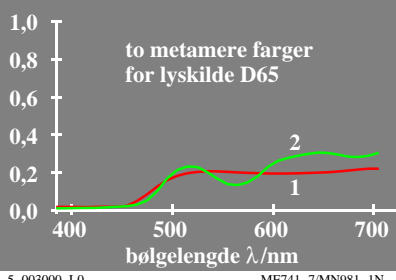
5-003000-L0

MN980-7N

TUB-testplansje MN98; Computergrafikk og fargemetrikk
Bildeserie MN98, 3D=0, de=0



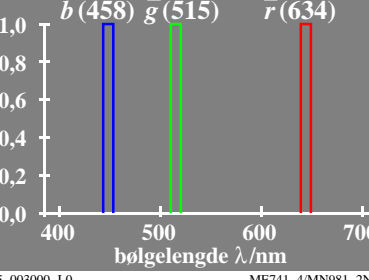
$R(\lambda)$ spektral refleksjonsfaktor



5-003000-L0

ME741-7/MN981-1N

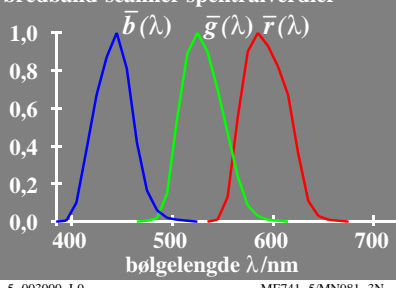
laser-scanner spektralverdier



5-003000-L0

ME741-4/MN981-2N

bredbånd-scanner spektralverdier



5-003000-L0

ME741-5/MN981-3N

Fargegjengivelses-indeks R_i av de to metamere BAM-scanner prøvefarger

scanner	TC farge gjengi-fagedif-velses indeks feranse
bredbånd	1 82 2 84
laser	1 63 2 69
ideell	1 100 2 100

D65, fargejustering med hvitt papir

5-003000-L0

ME741-8/MN981-4N

høyere fargemetrikk (fagedata: ikke-lineær relasjon til CIE 1931 data)

ikke-lineære størrelser	navn og sammenheng med tristimulus- eller kromatisitetsverdier	merknader
lyshet	$L^* = 116 (Y / 100)^{1/3} - 16 \quad (Y > 0,8)$ tilnærming: $L^* = 100 (Y / 100)^{1/2,4} \quad (Y > 0)$	CIELAB 1976
kulørhet	ikke-lineær transformasjon av kulørverdier A, B	
rød-grønn	$a^* = 500 [(X / X_n)^{1/3} - (Y / Y_n)^{1/3}]$ $= 500 (a - a_n) Y^{1/3}$	CIELAB 1976
gul-blå	$b^* = 200 [(Y / Y_n)^{1/3} - (Z / Z_n)^{1/3}]$ $= 500 (b' - b_n') Y^{1/3}$	CIELAB 1976
radiell	$C_{ab}^* = [a^*^2 + b^*^2]^{1/2}$ (omfelt)	$n=D65$
kromatisitet	ikke-lineær transformasjon av kromatisiteter $x/y, z/y$	sammenlign med log tappe-eksitasjon
rød-grønn	$a' = (1 / X_n)^{1/3} (x / y)^{1/3}$ $= 0,2191 (x / y)^{1/3} \quad \text{for D65}$	$\log[L / (L+M)]$
gul-blå	$b' = -0,4 (1 / Z_n)^{1/3} (z / y)^{1/3}$ $= -0,08376 (z / y)^{1/3} \quad \text{for D65}$	$= \log[P / (P+D)]$ $= \log[S / (L+M)]$ $= \log[T / (P+D)]$
radiell	$c'_{ab} = [(a' - a_n')^2 + (b' - b_n')^2]^{1/2}$	$= \log[T / (P+D)]$

5-003000-L0

MN981-7N

input: $rgb/cmyk \rightarrow rgb/cmyk$
output: ingen endring

